

# Plane\_Edge\_SLAM

Sun Qinxuan

December 13, 2017

# OUTLINE

- 1 Plane Parameter Estimation
  - Least Squares
  - weighted LS
  
- 2 RGB-D Camera Pose Estimation
  - Constraint Analysis

# OUTLINE

- 平面参数估计
  - 最小二乘方法
  - 考虑测量误差的最小二乘方法
  - 考虑测量误差以及入射角的最小二乘方法
  - 平面参数误差的估计
- RGB-D传感器位姿估计
  - 匹配的平面对位姿估计的约束分析
  - 基于平面的位姿估计的两种退化情况
  - 基于平面和边缘点的位姿估计
  - 对应关系的建立
- 实验结果

# 平面参数估计

## 最小二乘方法

已知构成平面的点集 $\{\mathbf{p}_{\pi j}\}_{j=1,\dots,N_{p\pi}}$ (由平面提取方法得到), 求解平面参数 $\mathbf{n}, d$ 使得点到平面的距离平方和最小。

$$F(\mathbf{n}, d) = \sum_{j=1}^{N_{p\pi}} D^2(\mathbf{p}_{\pi j}, \mathbf{n}, d) = \sum_{j=1}^{N_{p\pi}} (\mathbf{n}^T \mathbf{p}_{\pi j} + d)^2 \quad (1)$$

$$(\mathbf{n}^*, d^*) = \arg \min_{(\mathbf{n}, d)} F(\mathbf{n}, d) \quad (2)$$

求 $F$ 对 $d$ 的偏导数并令其为0可得

$$d^* = -\mathbf{n}^T \mathbf{p}_G \quad (3)$$

其中 $\mathbf{p}_G$ 是点的重心位置。

$$\mathbf{p}_G = \frac{1}{N_{p\pi}} \sum_{j=1}^{N_{p\pi}} \mathbf{p}_{\pi j} \quad (4)$$

## 平面参数估计

## 最小二乘方法

将式(3)代入式(1)可得

$$\begin{aligned} F(\mathbf{n}) &= \sum_{j=1}^{N_{p\pi}} (\mathbf{n}^T (\mathbf{p}_{\pi j} - \mathbf{p}_G))^2 \\ &= \mathbf{n}^T \sum_{j=1}^{N_{p\pi}} (\mathbf{p}_{\pi j} - \mathbf{p}_G) (\mathbf{p}_{\pi j} - \mathbf{p}_G)^T \mathbf{n} \end{aligned} \quad (5)$$

令

$$\mathbf{S} = \sum_{j=1}^{N_{p\pi}} (\mathbf{p}_{\pi j} - \mathbf{p}_G) (\mathbf{p}_{\pi j} - \mathbf{p}_G)^T \quad (6)$$

则有

$$\mathbf{n}^* = \arg \min_{\mathbf{n}} \mathbf{n}^T \mathbf{S} \mathbf{n} \quad (7)$$

式(7)的解 $\mathbf{n}^*$ 即为矩阵 $\mathbf{S}$ 的最小特征值对应的特征向量。

## 平面参数估计

## 考虑测量误差的最小二乘方法

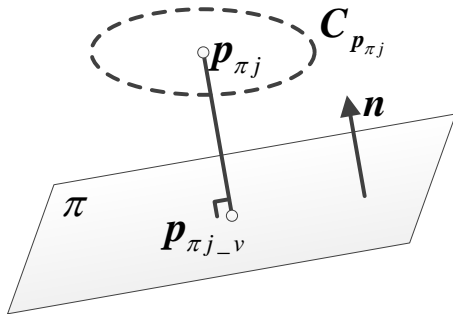


Figure: 考虑误差时点到平面的距离。

## 平面参数估计

## 考慮測量誤差的最小二乘方法

假设点 $\mathbf{p}_{\pi j}$ 的测量误差可以用协方差矩阵 $\mathbf{C}_{\mathbf{p}_{\pi j}}$ 来表示<sup>1</sup>。点 $\mathbf{p}_{\pi j}$ 在平面 $\pi$ 上的垂足为 $\mathbf{p}_{\pi j \perp v}$ 。

$$\mathbf{p}_{\pi j \perp v} = \mathbf{p}_{\pi j} - (\mathbf{n}^T \mathbf{p}_{\pi j} + d) \mathbf{n} \quad (8)$$

计算点 $\mathbf{p}_{\pi j}$ 到 $\mathbf{p}_{\pi j \perp v}$ 的马氏距离作为点到平面的距离 $D(\mathbf{p}_{\pi j}, \mathbf{n}, d)$ , 如图1所示。

$$\begin{aligned} D^2(\mathbf{p}_{\pi j}, \mathbf{n}, d) &= (\mathbf{p}_{\pi j} - \mathbf{p}_{\pi j \perp v})^T \mathbf{C}_{\mathbf{p}_{\pi j}}^{-1} (\mathbf{p}_{\pi j} - \mathbf{p}_{\pi j \perp v}) \\ &= (\mathbf{n}^T \mathbf{p}_{\pi j} + d)^2 \mathbf{n}^T \mathbf{C}_{\mathbf{p}_{\pi j}}^{-1} \mathbf{n} \end{aligned} \quad (9)$$

令

$$c_j(\mathbf{n}) = \mathbf{n}^T \mathbf{C}_{\mathbf{p}_{\pi j}}^{-1} \mathbf{n} \quad (10)$$

---

<sup>1</sup>Fast visual odometry and mapping from RGB-D data, ICRA, 2013

## 平面参数估计

## 考虑测量误差的最小二乘方法

令

$$\mathbf{v}_{\mathbf{p}\pi j} = \mathbf{p}_{\pi j} - \mathbf{p}_{\pi j\_v} \quad (11)$$

则

$$\mathbf{C}_{\mathbf{v}\mathbf{p}\pi j} = \left( \frac{\partial \mathbf{v}_{\mathbf{p}\pi j}}{\partial \mathbf{p}_{\pi j}} \right) \mathbf{C}_{\mathbf{p}_{\pi j}} \left( \frac{\partial \mathbf{v}_{\mathbf{p}\pi j}}{\partial \mathbf{p}_{\pi j}} \right)^T \quad (12)$$

$$\frac{\partial \mathbf{v}_{\mathbf{p}\pi j}}{\partial \mathbf{p}_{\pi j}} = \mathbf{I}_{3 \times 3} - \mathbf{n}\mathbf{n}^T \quad (13)$$

$$\begin{aligned} D^2(\mathbf{p}_{\pi j}, \mathbf{n}, d) &= (\mathbf{p}_{\pi j} - \mathbf{p}_{\pi j\_v})^T \mathbf{C}_{\mathbf{v}\mathbf{p}\pi j}^{-1} (\mathbf{p}_{\pi j} - \mathbf{p}_{\pi j\_v}) \\ &= (\mathbf{n}^T \mathbf{p}_{\pi j} + d)^2 \mathbf{n}^T \mathbf{C}_{\mathbf{v}\mathbf{p}\pi j}^{-1} \mathbf{n} \end{aligned} \quad (14)$$

## 平面参数估计

## 考慮測量誤差的最小二乘方法

$$F(\mathbf{n}, d) = \sum_{j=1}^{N_{p\pi}} D^2(\mathbf{p}_{\pi j}, \mathbf{n}, d) = \sum_{j=1}^{N_{p\pi}} c_j(\mathbf{n}) (\mathbf{n}^T \mathbf{p}_{\pi j} + d)^2 \quad (15)$$

$$c_j(\mathbf{n}) = \mathbf{n}^T \mathbf{C}_{\mathbf{p}_{\pi j}}^{-1} \mathbf{n} \quad (16)$$

$$(\mathbf{n}^*, d^*) = \arg \min_{(\mathbf{n}, d)} F(\mathbf{n}, d) \quad (17)$$

这里作一个近似，令 $c_j(\mathbf{n}) = c_j(\hat{\mathbf{n}})$ ， $\hat{\mathbf{n}}$ 表示式(7)的解，即不考虑测量误差时的法向量估计结果。求 $F$ 对 $d$ 的偏导数并令其为0可得

$$d^* = -\mathbf{n}^T \mathbf{p}_G \quad (18)$$

其中

$$\mathbf{p}_G = \frac{\sum_{j=1}^{N_{p\pi}} c_j(\hat{\mathbf{n}}) \mathbf{p}_{\pi j}}{\sum_{j=1}^{N_{p\pi}} c_j(\hat{\mathbf{n}})} \quad (19)$$

## 平面参数估计

## 考虑测量误差的最小二乘方法

将式(18)代入(15)可得

$$\begin{aligned} F(\mathbf{n}) &= \mathbf{n}^T \sum_{j=1}^{N_{p\pi}} c_j(\hat{\mathbf{n}}) (\mathbf{p}_{\pi j} - \mathbf{p}_G) (\mathbf{p}_{\pi j} - \mathbf{p}_G)^T \mathbf{n} \\ &= \mathbf{n}^T \mathbf{S} \mathbf{n} \end{aligned} \quad (20)$$

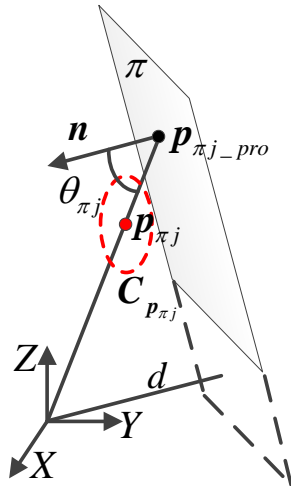
则

$$\mathbf{n}^* = \arg \min_{\mathbf{n}} F(\mathbf{n}) = \arg \min_{\mathbf{n}} \mathbf{n}^T \mathbf{S} \mathbf{n} \quad (21)$$

式(21)的解 $\mathbf{n}^*$ 即为矩阵 $\mathbf{S}$ 的最小特征值对应的特征向量。

## 平面参数估计

考虑测量误差以及入射角的最小二乘方法



## 平面参数估计

## 考虑测量误差以及入射角的最小二乘方法

由坐标系原点到 $\mathbf{p}_{\pi j}$ 的射线与平面 $\pi$ 的交点为 $\mathbf{p}_{\pi j\_pro}$ , 如图3所示。

$$\mathbf{p}_{\pi j\_pro} = \frac{-d}{\mathbf{n}^T \mathbf{p}_{\pi j}} \mathbf{p}_{\pi j} \quad (22)$$

计算点 $\mathbf{p}_{\pi j}$ 到 $\mathbf{p}_{\pi j\_pro}$ 的马氏距离作为点到平面的距离 $D(\mathbf{p}_{\pi j}, \mathbf{n}, d)$ 。

$$\begin{aligned} D^2(\mathbf{p}_{\pi j}, \mathbf{n}, d) &= (\mathbf{p}_{\pi j} - \mathbf{p}_{\pi j\_pro})^T \mathbf{C}_{\mathbf{p}_{\pi j}}^{-1} (\mathbf{p}_{\pi j} - \mathbf{p}_{\pi j\_pro}) \\ &= (\mathbf{n}^T \mathbf{p}_{\pi j} + d)^2 \frac{\mathbf{p}_{\pi j}^T}{\mathbf{n}^T \mathbf{p}_{\pi j}} \mathbf{C}_{\mathbf{p}_{\pi j}}^{-1} \frac{\mathbf{p}_{\pi j}}{\mathbf{n}^T \mathbf{p}_{\pi j}} \end{aligned} \quad (23)$$

## 平面参数估计

考虑测量误差以及入射角的最小二乘方法

令

$$v_{\mathbf{p}\pi j} = \mathbf{p}_{\pi j} - \mathbf{p}_{\pi j, pro} \quad (24)$$

则

$$\mathbf{C}_{v\mathbf{p}\pi j} = \left( \frac{\partial v_{\mathbf{p}\pi j}}{\partial \mathbf{p}_{\pi j}} \right) \mathbf{C}_{\mathbf{p}_{\pi j}} \left( \frac{\partial v_{\mathbf{p}\pi j}}{\partial \mathbf{p}_{\pi j}} \right)^T \quad (25)$$

$$\frac{\partial v_{\mathbf{p}\pi j}}{\partial \mathbf{p}_{\pi j}} = \left( 1 + \frac{d}{\mathbf{n}^T \mathbf{p}_{\pi j}} \right) \mathbf{I}_{3 \times 3} - \frac{d}{(\mathbf{n}^T \mathbf{p}_{\pi j})^2} \mathbf{p}_{\pi j} \mathbf{n}^T \quad (26)$$

$$\begin{aligned} D^2(\mathbf{p}_{\pi j}, \mathbf{n}, d) &= (\mathbf{p}_{\pi j} - \mathbf{p}_{\pi j, pro})^T \mathbf{C}_{v\mathbf{p}\pi j}^{-1} (\mathbf{p}_{\pi j} - \mathbf{p}_{\pi j, pro}) \\ &= (\mathbf{n}^T \mathbf{p}_{\pi j} + d)^2 \frac{\mathbf{p}_{\pi j}^T}{\mathbf{n}^T \mathbf{p}_{\pi j}} \mathbf{C}_{v\mathbf{p}\pi j}^{-1} \frac{\mathbf{p}_{\pi j}}{\mathbf{n}^T \mathbf{p}_{\pi j}} \end{aligned} \quad (27)$$

## 平面参数估计

## 考慮測量誤差以及入射角的最小二乘方法

令

$$c_j(\mathbf{n}) = \frac{\mathbf{p}_{\pi j}^T}{\mathbf{n}^T \mathbf{p}_{\pi j}} \mathbf{C}_{\mathbf{p}_{\pi j}}^{-1} \frac{\mathbf{p}_{\pi j}}{\mathbf{n}^T \mathbf{p}_{\pi j}} \quad (28)$$

考慮 $c_j(\mathbf{n})$ 中各项，向量 $\frac{\mathbf{p}_{\pi j}^T}{\mathbf{n}^T \mathbf{p}_{\pi j}}$ 的方向即為向量 $\mathbf{p}_{\pi j}$ 的方向，設其方向的單位向量為 $\mathbf{v}_{\mathbf{p}_{\pi j}}$ ，其幅值為

$$\left| \frac{\mathbf{p}_{\pi j}^T}{\mathbf{n}^T \mathbf{p}_{\pi j}} \right| = \frac{1}{\cos \theta_{\pi j}} \quad (29)$$

其中 $\theta_{\pi j} \in [0, \frac{\pi}{2})$ 為向量 $\mathbf{p}_{\pi j}$ 向平面 $\pi$ 的入射角，如圖3 中所示。則有

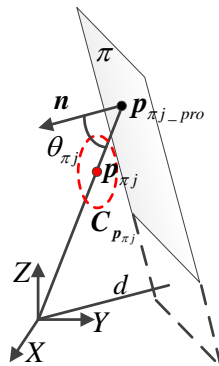
$$c_j(\mathbf{n}) = \frac{1}{\cos^2 \theta_{\pi j}} \mathbf{v}_{\mathbf{p}_{\pi j}}^T \mathbf{C}_{\mathbf{p}_{\pi j}}^{-1} \mathbf{v}_{\mathbf{p}_{\pi j}} \quad (30)$$

## 平面参数估计

## 考虑测量误差以及入射角的最小二乘方法

$$c_j(\mathbf{n}) = \frac{1}{\cos^2 \theta_{\pi j}} \mathbf{v}_{\mathbf{p}_{\pi j}}^T \mathbf{C}_{\mathbf{p}_{\pi j}}^{-1} \mathbf{v}_{\mathbf{p}_{\pi j}} \quad (31)$$

其中  $\mathbf{v}_{\mathbf{p}_{\pi j}}^T \mathbf{C}_{\mathbf{p}_{\pi j}}^{-1} \mathbf{v}_{\mathbf{p}_{\pi j}}$  即为协方差矩阵在  $\mathbf{v}_{\mathbf{p}_{\pi j}}$  方向的分量，而  $\frac{1}{\cos^2 \theta_{\pi j}}$  这一项与入射角  $\theta_{\pi j}$  相关， $\theta_{\pi j}$  越大， $c_j(\mathbf{n})$  越大，则距离  $D_{w2}(\mathbf{p}_{\pi j}, \mathbf{n}, d)$  也越大。同样的，这里做一个近似，令  $\mathbf{n} = \hat{\mathbf{n}}$ ， $\hat{\mathbf{n}}$  表示式(7)的解，这时有  $c_j(\mathbf{n}) = c_j(\hat{\mathbf{n}})$ 。



**Figure:** 考虑误差以及入射角时点到平面

## 平面参数估计

考虑测量误差以及入射角的最小二乘方法

则

$$F(\mathbf{n}, d) = \sum_{j=1}^{N_{p\pi}} D^2(\mathbf{p}_{\pi j}, \mathbf{n}, d) = \sum_{j=1}^{N_{p\pi}} c_j(\hat{\mathbf{n}}) (\mathbf{n}^T \mathbf{p}_{\pi j} + d)^2 \quad (32)$$

$$(\mathbf{n}^*, d^*) = \arg \min_{(\mathbf{n}, d)} F(\mathbf{n}, d) \quad (33)$$

求 $F$ 对 $d$ 的偏导数并令其为0可得

$$d^* = -\mathbf{n}^T \mathbf{p}_G \quad (34)$$

其中

$$\mathbf{p}_G = \frac{\sum_{j=1}^{N_{p\pi}} c_j(\hat{\mathbf{n}}) \mathbf{p}_{\pi j}}{\sum_{j=1}^{N_{p\pi}} c_j(\hat{\mathbf{n}})} \quad (35)$$

## 平面参数估计

考虑测量误差以及入射角的最小二乘方法

将式(34)代入(32)可得

$$\begin{aligned} F(\mathbf{n}) &= \mathbf{n}^T \sum_{j=1}^{N_{p\pi}} c_j(\hat{\mathbf{n}}) (\mathbf{p}_{\pi j} - \mathbf{p}_G) (\mathbf{p}_{\pi j} - \mathbf{p}_G)^T \mathbf{n} \\ &= \mathbf{n}^T \mathbf{S} \mathbf{n} \end{aligned} \quad (36)$$

则有

$$\mathbf{n}^* = \arg \min_{\mathbf{n}} \mathbf{n}^T \mathbf{S} \mathbf{n} \quad (37)$$

式(37)的解 $\mathbf{n}^*$ 即为矩阵 $\mathbf{S}$ 的最小特征值对应的特征向量。

## 平面参数估计

## 平面参数误差的估计

$$F(\mathbf{n}, d) = \sum_{j=1}^{N_{p\pi}} D^2(\mathbf{p}_{\pi j}, \mathbf{n}, d) = \sum_{j=1}^{N_{p\pi}} c_j(\hat{\mathbf{n}}) (\mathbf{n}^T \mathbf{p}_{\pi j} + d)^2 \quad (38)$$

$$(\mathbf{n}^*, d^*) = \arg \min_{(\mathbf{n}, d)} F(\mathbf{n}, d) \quad (39)$$

计算(38)在 $\mathbf{n}^*, d^*$ 处的Hessian矩阵，并取其逆作为平面参数协方差的估计<sup>2</sup>。

$$\begin{aligned} \mathbf{C}_\pi^{-1} &= \mathbf{H}_\pi = \begin{bmatrix} \mathbf{H}_{\mathbf{n}\mathbf{n}} & \mathbf{H}_{\mathbf{n}d} \\ \mathbf{H}_{\mathbf{n}d}^T & \mathbf{H}_{dd} \end{bmatrix} \\ &= \begin{bmatrix} \frac{\partial^2 F}{\partial \mathbf{n}^2} & \left( \frac{\partial^2 F}{\partial d \partial \mathbf{n}} \right) \\ \left( \frac{\partial^2 F}{\partial d \partial \mathbf{n}} \right)^T & \frac{\partial^2 F}{\partial d^2} \end{bmatrix} = \sum_{j=1}^{N_{p\pi}} c_j \begin{bmatrix} \mathbf{p}_{\pi j} \mathbf{p}_{\pi j}^T & \mathbf{p}_{\pi j} \\ \mathbf{p}_{\pi j}^T & 1 \end{bmatrix} \end{aligned} \quad (40)$$

<sup>2</sup>K. Pathak, N. Vaskevicius and A. Birk, Uncertainty analysis for optimum plane extraction from noisy RGB-D data, in Proc. of the Intelligent Computer Vision, 2015.

## RGB-D传感器位姿估计

 $i$  subscript

平面下标;

 $k$  subscript

边缘点下标;

 $c$  presuperscript

当前帧;

 $r$  presuperscript

参考帧;

 $\pi = [\mathbf{n}^T, d]^T$ 

平面参数;

 $\{{}^c\pi_i, {}^r\pi_i\}_{i=1, \dots, N_\pi}$ 

两帧之间的对应平面;

 $\{{}^c\mathbf{p}_k, {}^r\mathbf{p}_k\}_{k=1, \dots, N_p}$ 

两帧之间的对应边缘点;

 $\begin{bmatrix} \mathbf{R}_{cr} & \mathbf{t}_{cr} \\ \mathbf{0}_{1 \times 3} & 1 \end{bmatrix} \in \mathbb{SE}(3)$ 

参考帧到当前帧的变换矩阵;

 $\xi = [\mathbf{t}^T, \boldsymbol{\omega}^T]^T \in \mathfrak{se}(3)$ 

6-DoF位姿变换;

# RGB-D传感器位姿估计

## 匹配的平面对位姿估计的约束分析

假设连续两帧(当前帧和参考帧)之间有 $N_\pi$ 对匹配平面 $\{{}^c\pi_i, {}^r\pi_i\}_{i=1,\dots,N_\pi}$  (平面间对应关系已建立, 详见33)。定义目标函数

$$J_\pi(\xi) = \sum_{i=1}^{N_\pi} J_{\pi i}(\xi) \quad (41)$$

$$J_{\pi i}(\xi) = \frac{1}{2} ({}^c\pi_i - T_{cr}({}^r\pi_i, \xi))^T {}^c\mathbf{C}_{\pi i}^{-1} ({}^c\pi_i - T_{cr}({}^r\pi_i, \xi)) \quad (42)$$

$$T_{cr}({}^r\pi_i, \xi) = \begin{bmatrix} {}^r\mathbf{n}_i \\ {}^r d_i - (\mathbf{R}_{cr} {}^r\mathbf{n}_i)^T \mathbf{t}_{cr} \end{bmatrix} \quad (43)$$

## RGB-D传感器位姿估计

## 匹配的平面对位姿估计的约束分析

$$v_{\pi i} = {}^c\pi_i - T_{cr}({}^r\pi_i, \xi) \quad (44)$$

$$\mathbf{C}_{v\pi i} = {}^c\mathbf{C}_{\pi i} + \left( \frac{\partial v_{\pi i}}{\partial {}^r\pi_i} \right) {}^r\mathbf{C}_{\pi i} \left( \frac{\partial v_{\pi i}}{\partial {}^r\pi_i} \right)^T \quad (45)$$

$$\frac{\partial v_{\pi i}}{\partial {}^r\pi_i} = \begin{bmatrix} -\mathbf{R}_{cr} & \mathbf{0}_{3 \times 1} \\ \mathbf{t}_{cr}^T \mathbf{R}_{cr} & -1 \end{bmatrix} \quad (46)$$

$$J_{\pi i}(\xi) = \frac{1}{2} ({}^c\pi_i - T_{cr}({}^r\pi_i, \xi))^T {}^c\mathbf{C}_{v\pi i}^{-1} ({}^c\pi_i - T_{cr}({}^r\pi_i, \xi)) \quad (47)$$

# RGB-D传感器位姿估计

## 匹配的平面对位姿估计的约束分析

求解目标函数中一项 $J_{\pi i}$ 在 $\xi$ 处的梯度可得

$$\frac{\partial J_{\pi i}}{\partial \xi} = \left[ \frac{h_{di} \cdot \mathbf{R}_{cr}^r \mathbf{n}_i}{(\mathbf{R}_{cr}^r \mathbf{n}_i)_{\times} (h_{di} \cdot \mathbf{t}_{cr} - \mathbf{h}_{ni})} \right] \quad (48)$$

其中 $(\mathbf{R}_{cr}^r \mathbf{n}_i)_{\times}$ 是 $\mathbf{R}_{cr}^r \mathbf{n}_i$ 对应的反对称矩阵。

$$\begin{aligned} \mathbf{h}_{ni} &= \mathbf{H}_{nni} \cdot \Delta \mathbf{n}_i + \mathbf{H}_{ndi} \cdot \Delta d_i \\ h_{di} &= \mathbf{H}_{ndi}^T \cdot \Delta \mathbf{n}_i + \mathbf{H}_{ddi} \cdot \Delta d_i \\ \Delta \mathbf{n}_i &= {}^c \mathbf{n}_i - \mathbf{R}_{cr}^r \mathbf{n}_i \\ \Delta d_i &= {}^r d_i - \left( {}^r d_i - (\mathbf{R}_{cr}^r \mathbf{n}_i)^T \mathbf{t}_{cr} \right) \end{aligned} \quad (49)$$

## RGB-D传感器位姿估计

## 匹配的平面对位姿估计的约束分析

令 $\Psi_\pi$ 为 $\{\frac{\partial J_{\pi i}}{\partial \xi}\}_{i=1,\dots,N_\pi}$ 的散列矩阵。

$$\Psi_\pi = \sum_{i=1}^{N_\pi} \left( \frac{\partial J_{\pi i}}{\partial \xi} \right) \left( \frac{\partial J_{\pi i}}{\partial \xi} \right)^T = \sum_{i=1}^{N_\pi} \begin{bmatrix} \Psi_{\pi 11} & \Psi_{\pi 12} \\ \Psi_{\pi 21} & \Psi_{\pi 22} \end{bmatrix} \quad (50)$$

其中

$$\begin{aligned} \Psi_{\pi 11} &= h_{di}^2 \cdot (\mathbf{R}_{cr}{}^r \mathbf{n}_i) (\mathbf{R}_{cr}{}^r \mathbf{n}_i)^T \\ \Psi_{\pi 12} &= h_{di} \cdot (\mathbf{R}_{cr}{}^r \mathbf{n}_i) (h_{di} \cdot \mathbf{t}_{cr} - \mathbf{h}_{ni})^T (\mathbf{R}_{cr}{}^r \mathbf{n}_i)_\times^T \\ \Psi_{\pi 21} &= h_{di} \cdot (\mathbf{R}_{cr}{}^r \mathbf{n}_i)_\times (h_{di} \cdot \mathbf{t}_{cr} - \mathbf{h}_{ni}) (\mathbf{R}_{cr}{}^r \mathbf{n}_i)^T \\ \Psi_{\pi 22} &= (\mathbf{R}_{cr}{}^r \mathbf{n}_i)_\times (h_{di} \cdot \mathbf{t}_{cr} - \mathbf{h}_{ni}) (h_{di} \cdot \mathbf{t}_{cr} - \mathbf{h}_{ni})^T (\mathbf{R}_{cr}{}^r \mathbf{n}_i)_\times^T \end{aligned} \quad (51)$$

# RGB-D传感器位姿估计

## 匹配的平面对位姿估计的约束分析

The matrix  $\Psi_\pi$  is actually a scatter matrix which contains information about the distribution of the gradient of  $J_{\pi,i}$  w.r.t.  $\mathbf{w}$  over all planes in the matched plane set. Performing principal component analysis upon  $\Psi_\pi$  results in

$$\Psi_\pi = Q_\pi \Lambda_\pi Q_\pi^T = \sum_{l=1}^6 \lambda_{\pi l} \mathbf{q}_{\pi l} \mathbf{q}_{\pi l}^T \quad (52)$$

where  $\lambda_{\pi 1} \geq \lambda_{\pi 2} \geq \dots \geq \lambda_{\pi 6}$  are the eigenvalues of  $\Psi_\pi$ , and  $\mathbf{q}_{\pi l}$  are the corresponding eigenvectors, of which the first three elements are the translation components, and the last three elements are the rotation components. The eigenvector  $\mathbf{q}_{\pi l}$  corresponding to the largest eigenvalue represents the transformation of maximum constraint. Perturbing the plane parameters by the transformation of the direction  $\mathbf{q}_{\pi l}$  will result in the largest possible change in from among all possible transformation perturbations.

# RGB-D传感器位姿估计

## 基于平面的位姿估计的两种退化情况

$$\Psi_\pi |_{\xi=0} = \sum_{i=1}^{N_\pi} \begin{bmatrix} h_{di}^2 \cdot {}^r\mathbf{n}_i {}^r\mathbf{n}_i^T & -h_{di} \cdot {}^r\mathbf{n}_i \mathbf{h}_{ni}^T {}^r\mathbf{n}_{i\times}^T \\ -h_{di} \cdot {}^r\mathbf{n}_{i\times} \mathbf{h}_{ni} {}^r\mathbf{n}_i^T & {}^r\mathbf{n}_{i\times} \mathbf{h}_{ni} \mathbf{h}_{ni}^T {}^r\mathbf{n}_{i\times}^T \end{bmatrix} \quad (53)$$

Define the matrix  $\mathbf{M}$  and compute its SVD decomposition as

$$\mathbf{M} = \sum_{i=1}^{N_\pi} {}^r\mathbf{n}_i {}^c\mathbf{n}_i^T = \mathbf{U} \Lambda \mathbf{V}^T = \lambda_1 \mathbf{u}_1 \mathbf{v}_1^T + \lambda_2 \mathbf{u}_2 \mathbf{v}_2^T + \lambda_3 \mathbf{u}_3 \mathbf{v}_3^T \quad (54)$$

where the singular values  $\lambda_1, \lambda_2, \lambda_3$  satisfy  $\lambda_1 \geq \lambda_2 \geq \lambda_3$ .

# RGB-D传感器位姿估计

## 基于平面的位姿估计的两种退化情况

- (1) Assuming that  $\lambda_3 = 0$ ,  ${}^r\mathbf{n}_i^T \mathbf{u}_3 = 0$  holds true for all  $i = 1, \dots, N_\pi$ . For a small camera motion  $\Delta\xi = [\mu \mathbf{u}_3^T, \mathbf{0}^T]^T$  in the direction of  $\mathbf{u}_3$ , the variation of the cost function  $\Delta J_\pi^2(\Delta\xi) = \Delta\xi^T \Psi_\pi \Delta\xi$  caused by  $\Delta\xi$  is always zero. That is to say, the perturbation in the direction of  $\mathbf{u}_3$  will cause no change of the cost function.
- (2) Similarly, when  $\lambda_2 = \lambda_3 = 0$ , for all  $i = 1, \dots, N_\pi$ ,  ${}^r\mathbf{n}_i$  satisfies  ${}^r\mathbf{n}_i^T \mathbf{u}_2 = 0$ ,  ${}^r\mathbf{n}_i^T \mathbf{u}_3 = 0$  and  ${}^r\mathbf{n}_i \times \mathbf{u}_1 = 0$ . In this case, for a small camera motion  $\Delta\xi = [\mu_2 \mathbf{u}_2^T + \mu_3 \mathbf{u}_3^T, \mu_1 \mathbf{u}_1^T]^T$ ,  $\Delta J_\pi^2(\Delta\xi) = 0$ .

# RGB-D传感器位姿估计

## 基于平面和边缘点的位姿估计

假设连续两帧(当前帧和参考帧)之间有 $N_p$ 对匹配的边缘点 $\{{}^c\mathbf{p}_k, {}^r\mathbf{p}_k\}_{k=1, \dots, N_p}$ (假设对应关系已知, 详见33)。

定义基于平面和边缘点的目标函数为

$$J(\xi) = J_\pi(\xi) + W_p \sum_{k=1}^{N_p} w_{pk} J_{pk}(\xi) \quad (55)$$

其中 $J_\pi(\xi)$ 定义如式(41),

$$J_{pk}(\xi) = \frac{1}{2} ({}^c\mathbf{p}_k - T_{cr}({}^r\mathbf{p}_k, \xi))^T {}^c\mathbf{C}_{pk}^{-1} ({}^c\mathbf{p}_k - T_{cr}({}^r\mathbf{p}_k, \xi)) \quad (56)$$

$$T_{cr}({}^r\mathbf{p}_k, \xi) = \mathbf{R}_{cr} {}^r\mathbf{p}_k + \mathbf{t}_{cr} \quad (57)$$

${}^c\mathbf{C}_{pk}$ 为边缘点 ${}^c\mathbf{p}_k$ 的协方差, 其估计方法下文详述。

参数 $W_p$ 与 $w_{pk}$ 的计算方法下文详述。

# RGB-D传感器位姿估计

## 基于平面和边缘点的位姿估计

$$\mathbf{v}_{pk} = {}^c\mathbf{p}_k - T_{cr}({}^r\mathbf{p}_k, \xi) \quad (58)$$

$$\mathbf{C}_{vpk} = {}^c\mathbf{C}_{pk} + \mathbf{R}_{cr} {}^r\mathbf{C}_{pk} \mathbf{R}_{cr}^T \quad (59)$$

$$J_{pk}(\xi) = \frac{1}{2} ({}^c\mathbf{p}_k - T_{cr}({}^r\mathbf{p}_k, \xi))^T {}^c\mathbf{C}_{vpk}^{-1} ({}^c\mathbf{p}_k - T_{cr}({}^r\mathbf{p}_k, \xi)) \quad (60)$$

# RGB-D传感器位姿估计

## 基于平面和边缘点的位姿估计

### ${}^c\mathbf{C}_{pk}$ 的估计

取 ${}^c\mathbf{p}_k$ 邻域内的边缘点，拟合协方差 ${}^c\mathbf{C}_{pk}$ ，假设其特征值 $\lambda_{p1}, \lambda_{p2}, \lambda_{p3}$ ，及对应特征向量 $\mathbf{u}_{p1}, \mathbf{u}_{p2}, \mathbf{u}_{p3}$ 。

$${}^c\mathbf{C}_{pk}^{-1} = \frac{1}{\lambda_{p1}}\mathbf{u}_{p1}\mathbf{u}_{p1}^T + \frac{1}{\lambda_{p2}}\mathbf{u}_{p2}\mathbf{u}_{p2}^T + \frac{1}{\lambda_{p3}}\mathbf{u}_{p3}\mathbf{u}_{p3}^T \quad (61)$$

对于边缘上的点，有 $\lambda_{p1} \gg \lambda_{p2} \geq \lambda_{p3}$ ，即 $\frac{1}{\lambda_{p3}} \geq \frac{1}{\lambda_{p2}} \gg \frac{1}{\lambda_{p1}}$ 。则

$$\begin{aligned} J_{pk}(\xi) &= \frac{1}{2}({}^c\mathbf{p}_k - T_{cr}({}^r\mathbf{p}_k, \xi))^T {}^c\mathbf{C}_{pk}^{-1} ({}^c\mathbf{p}_k - T_{cr}({}^r\mathbf{p}_k, \xi)) \\ &\approx \frac{1}{2}({}^c\mathbf{p}_k - T_{cr}({}^r\mathbf{p}_k, \xi))^T \left( \frac{1}{\lambda_{p2}}\mathbf{u}_{p2}\mathbf{u}_{p2}^T + \frac{1}{\lambda_{p3}}\mathbf{u}_{p3}\mathbf{u}_{p3}^T \right) ({}^c\mathbf{p}_k - T_{cr}({}^r\mathbf{p}_k, \xi)) \end{aligned} \quad (62)$$

只有沿 ${}^c\mathbf{p}_k$ 所在边缘的垂直方向上的运动才会导致 $J_{pk}(\xi)$ 变化。

# RGB-D传感器位姿估计

## 基于平面和边缘点的位姿估计

参数 $w_{pk}$ 的计算

先求 $J_{pk}$ 在 $\xi$ 处的梯度

$$\mathbf{g}_{pk} = \frac{\partial J_{pk}}{\partial \xi} = - \left[ \begin{matrix} \mathbf{I}_{3 \times 3} \\ (\mathbf{R}_{cr} {}^r \mathbf{p}_k)_{\times} \end{matrix} \right] {}^c \mathbf{C}_{pk}^{-1} ({}^c \mathbf{p}_k - T_{cr}({}^r \mathbf{p}_k, \xi)) \quad (63)$$

其中 $(\mathbf{R}_{cr} {}^r \mathbf{p}_k)_{\times}$ 是 $\mathbf{R}_{cr} {}^r \mathbf{p}_k$ 对应的反对称矩阵。令

$$\mathbf{v}_{pk} = \frac{\mathbf{g}_{pk}}{\|\mathbf{g}_{pk}\|} \quad (64)$$

为 $J_{pk}$ 在 $\xi$ 处的梯度方向。

# RGB-D传感器位姿估计

## 基于平面和边缘点的位姿估计

### 参数 $w_{pk}$ 的计算

$$w_{pk} = \frac{1}{6} \sum_{l=1}^6 \frac{|\mathbf{v}_{pk}^T \mathbf{q}_{\pi l}|}{\exp\left(\alpha \sqrt{\frac{\lambda_{\pi l}}{\lambda_{\pi 1}}}\right)} \quad (65)$$

$\mathbf{v}_{pk}^T \mathbf{q}_{\pi l} \in [0, 1], l = 1, \dots, 6$  为  $\mathbf{v}_{pk}$  在  $\Psi_\pi$  各个主方向  $\mathbf{q}_{\pi l}$  上的分量，若  $\mathbf{q}_{\pi l}$  方向对应的  $\lambda_{\pi l}$  越小，其对应的分母  $\exp\left(\alpha \sqrt{\frac{\lambda_{\pi l}}{\lambda_{\pi 1}}}\right) \in [1, e^\alpha]$  也越小(越接近1)；若  $\mathbf{q}_{\pi l}$  方向对应的  $\lambda_{\pi l}$  越大，其对应的分母  $\exp\left(\alpha \sqrt{\frac{\lambda_{\pi l}}{\lambda_{\pi 1}}}\right) \in [1, e^\alpha]$  也越大(接近  $e^\alpha$ )。

例如：

- 若  $\mathbf{v}_{pk} = \mathbf{q}_{\pi 1}$ ，则  $w_{pk} = \frac{1}{e^\alpha}$ ，即在平面能提供较大约束的方向上起到抑制作用。参数  $\alpha$  设置地越大，抑制作用越强。
- 若  $\mathbf{v}_{pk} = \mathbf{q}_{\pi 6}$  且  $\lambda_{\pi 6} = 0$ ，则  $w_{pk} = 1$ ，即在平面无法提供约束

# RGB-D传感器位姿估计

基于平面和边缘点的位姿估计  
参数 $W_p$ 的计算

$$W_p = \frac{\beta \sqrt{\lambda_{\pi 1}}}{\left| \sum_{k=1}^{N_p} w_{pk} \mathbf{g}_{pk} \right|} \quad (66)$$

# RGB-D传感器位姿估计

## 对应关系的建立

### 平面的对应关系

定义平面 ${}^c\pi_i$ 与 ${}^r\pi_m$ 之间的距离

$$D({}^c\pi_i, {}^r\pi_m) = ({}^c\pi_i - {}^r\pi_m)^T {}^c\mathbf{C}_{\pi_i}^{-1} ({}^c\pi_i - {}^r\pi_m) \quad (67)$$

则对于当前帧中一个平面 ${}^c\pi_i$ , 其在参考帧中的对应平面 ${}^r\pi_i$ 为

$${}^r\pi_i = \arg \min_{{}^r\pi_m} D({}^c\pi_i, {}^r\pi_m) \quad (68)$$

# RGB-D传感器位姿估计

## 对应关系的建立

平面的对应关系

剔除错配关系:

- 建立对应关系。

$${}^r\pi_i = \arg \min_{{}^r\pi_m} D({}^c\pi_i, {}^r\pi_m), i = 1, \dots, {}^cN_\pi$$

- 计算

$$\xi^* = \arg \min_{\xi} \sum_{i=1}^{{}^cN_\pi} J_{\pi i}(\xi)$$

- $\{e_i = J_{\pi i}(\xi^*), i = 1, \dots, {}^cN_\pi\}$ , 计算其均值  $\mu_e$  及方差  $\sigma_e^2$ 。
- $\forall i$ , 如果  $e_i - \mu_e > \sigma_e$ , 则去除  $\{{}^c\pi_i, {}^r\pi_i\}$  匹配关系。

# 实验结果

**Table:** 实验一：只用平面计算位姿，边缘点不参与计算，找出一个sequence中所有的非退化情况，计算其估计位姿结果的RPE(Relative Pose Error) RMSE，在估计平面参数的时候分别用三种方法，其他均保持一致。

	LS	LS(noise)	LS(noise&angle)
fr3/cabinet	0.0185m/1.164°	0.0131m/1.025°	<b>0.0124m/1.023°</b>
fr3/str_tex_far	0.0211m/0.873°	<b>0.0192m/0.782°</b>	0.0200m/0.803°
fr3/str_tex_near	0.0186m/1.166°	0.0148m/0.960°	<b>0.0117m/0.930°</b>
fr3/str_ntex_far	<b>0.0253m/1.073°</b>	0.0277m/1.076°	0.0280m/1.087°
fr3/str_ntex_near	0.0109m/0.769°	0.0097m/ <b>0.768°</b>	<b>0.0095m/0.784°</b>

# 实验结果

**Table:** 实验二：基于平面和边缘点的位姿估计，计算其ATE(Absolute Trajectory Error) RMSE。参数设置： $\alpha = 1, \beta = 1$ 。

	LS	LS(noise)	LS(noise&angle)
fr1/desk	0.067m	0.044m	<b>0.031m</b>
fr1/plant	0.062m	0.047m	<b>0.043m</b>
fr2/desk	0.131m	<b>0.079m</b>	0.083m
fr3/office	0.072m	0.069m	<b>0.053m</b>
fr3/str_tex_near	0.052m	0.085m	<b>0.030m</b>
fr3/nstr_tex_near	<b>0.045m</b>	0.065m	0.058m

dataset	without plane	hard labeling	soft labeling
fr1/desk	0.034	0.080	<b>0.030</b>
fr1/plant	<b>0.050</b>	0.072	0.073
fr2/desk	0.097	0.134	<b>0.095</b>
fr3/office	0.086	0.077	<b>0.076</b>
fr3/structure_texture_near	0.049	<b>0.028</b>	0.036
fr3/nst	0.076	<b>0.032</b>	<b>0.032</b>
iclnuim/lr3	<b>0.002</b>	0.049	<b>0.002</b>
iclnuim/lr3noisy	0.028	0.024	<b>0.019</b>

**Figure:** Results of CPA-SLAM<sup>3</sup>.(no final optimization.)

# 实验结果

**Table:** 实验二：基于平面和边缘点的位姿估计，计算其ATE(Absolute Trajectory Error) RMSE。参数设置： $\alpha = 1, \beta = 1$ 。

	0	1	2	0	1	2
fr1/desk	0.067m	0.044m	<b>0.031m</b>	0.064m	0.035m	<b>0.032m</b>
fr1/plant	0.062m	0.047m	<b>0.043m</b>	0.061m	<b>0.049m</b>	0.053m
fr2/desk	0.131m	<b>0.079m</b>	0.083m	0.106m	<b>0.071m</b>	0.087m
fr3/office	0.072m	0.069m	<b>0.053m</b>	0.069m	<b>0.051m</b>	0.059m
fr3/str_tex_near	0.052m	0.085m	<b>0.030m</b>	0.052m	0.057m	<b>0.051m</b>
fr3/nstr_tex.near	<b>0.045m</b>	0.065m	0.058m			

dataset	without plane	hard labeling	soft labeling
fr1/desk	0.034	0.080	<b>0.030</b>
fr1/plant	<b>0.050</b>	0.072	0.073
fr2/desk	0.097	0.134	<b>0.095</b>
fr3/office	0.086	0.077	<b>0.076</b>
fr3/structure_texture_near	0.049	<b>0.028</b>	0.036
fr3/nst	0.076	<b>0.032</b>	<b>0.032</b>
iclnuim/lr3	<b>0.002</b>	0.049	<b>0.002</b>
iclnuim/lr3noisy	0.028	0.024	<b>0.019</b>

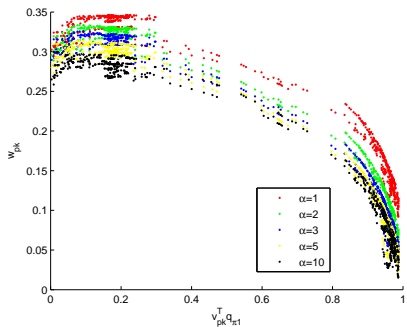
**Figure:** Results of CPA-SLAM<sup>4</sup>.(no final optimization.)



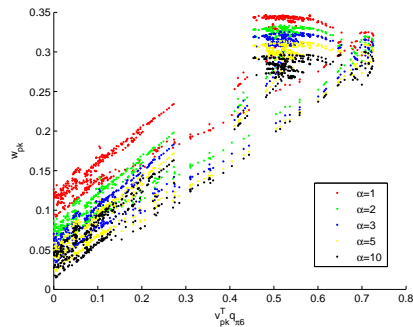
(a)



(b)



(c)



(d)

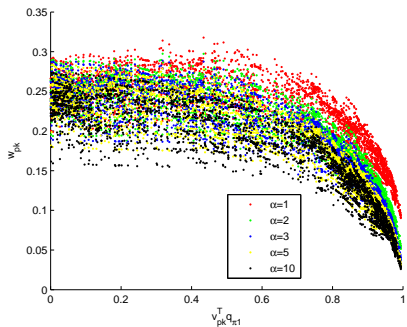
Figure:



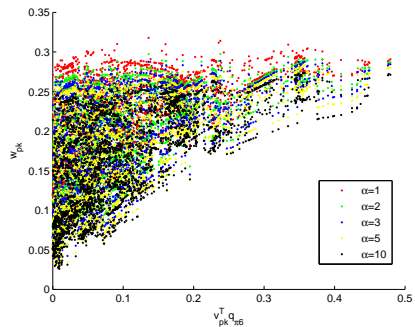
(a)



(b)



(c)



(d)

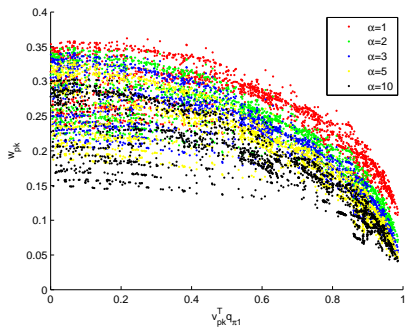
Figure:



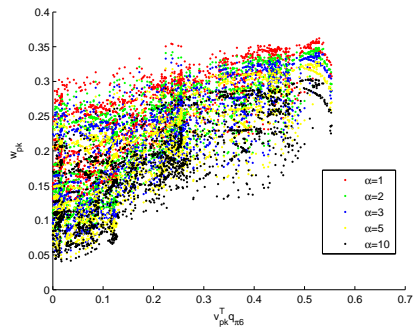
(a)



(b)



(c)



(d)

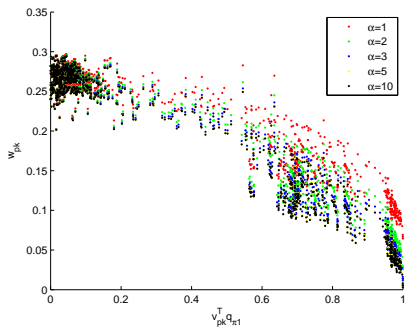
Figure:



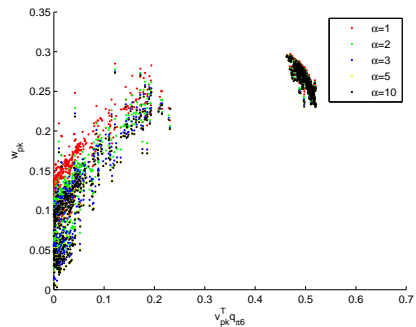
(a)



(b)



(c)



(d)

Figure:

# 实验结果

**Table:** 实验三：基于平面和边缘点的位姿估计，计算其ATE(Absolute Trajectory Error) RMSE，对比加权与不加权的结果。平面参数计算方法：方法2，参数设置： $\alpha = 1, \beta = 1$ 。

	加权	不加权
fr1/desk	0.035m	0.062m
fr1/plant	0.049m	0.066m
fr2/desk	0.071m	0.103m
fr3/office	0.051m	0.094m
fr3/str_tex_near	0.052m	0.061m